

BOLETÍN CLIMÁTICO

DIRECCIÓN ZONAL 2 LAMBAYEQUE



AÑO XXIII - N° 9

SETIEMBRE - 2022

Estación Climatológica Principal - Huambos
Chota, Cajamarca



PERÚ
Ministerio
del Ambiente



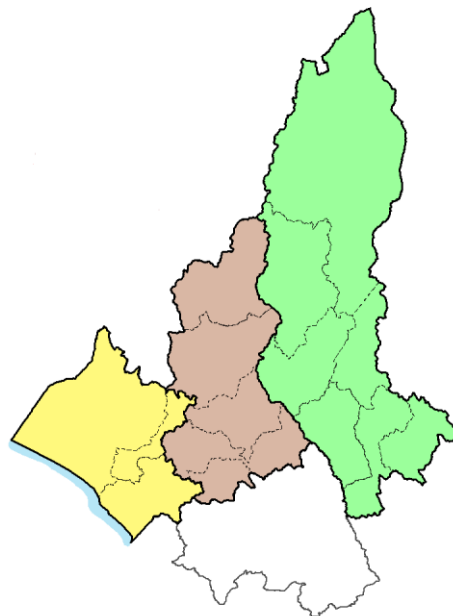
Siempre
con el pueblo



BICENTENARIO
DEL PERÚ
2021 - 2024

Presentación

El SENAMHI, Servicio Nacional de Meteorología e Hidrología del Perú, por intermedio de su Dirección Zonal 2 con sede en la ciudad de Chiclayo, presenta su BOLETÍN CLIMÁTICO en que se proporciona información de las condiciones meteorológicas ocurridas durante el mes de setiembre 2022, sobre los departamentos de Lambayeque, Amazonas, el centro norte de Cajamarca y el noroccidente de La Libertad; así como las perspectivas climáticas para la fase de octubre a la primera quincena de noviembre 2022, con el fin de que este boletín se constituya en una fuente de consulta y un apoyo para la planificación, la toma de decisiones, el desarrollo de las distintas actividades socio económicas y la gestión del riesgo.




TOMAR EN CUENTA


El **elemento meteorológico** es toda propiedad o condición de la atmosfera, que en conjunto definen el estado del tiempo (a corto plazo) o del clima (a largo plazo), conociéndose como parámetro meteorológico a su indicador estadístico.


Las **normales climatológicas** se definen como, los promedios de los datos climatológicos calculados para un periodo de 30 años consecutivos (1981-2010).

El **promedio mensual**, es la media de un elemento meteorológico de cualquier mes de un año en particular. Para la precipitación se utiliza el acumulado o total de lluvias mensuales.

La **anomalía mensual** es la diferencia entre un valor promedio mensual y su respectiva normal climatológica, normal promediada en 30 años

 La **Temperatura máxima** es la temperatura más alta durante el día, que ocurre en general después de mediodía.

 La **Temperatura mínima** es la temperatura más baja que se pueda registrar, que generalmente ocurre durante la madrugada.

 La **Precipitación** es un término asignado a los fenómenos hidrometeorológicos, que se pueden manifestar como lluvia, llovizna, granizo, etc.

SISTEMA DE ALERTA

La Comisión Multisectorial encargada del Estudio Nacional del Fenómeno “El Niño” - ENFEN, en su comunicado oficial N°10 - 2022, mantiene el estado de “**Alerta de La Niña**”, debido a que es más probable que las temperaturas superficiales del mar en la región Niño 1+2, que incluye la zona norte y centro del mar peruano, mantenga valores por debajo de sus rangos normales con una magnitud débil hasta diciembre del presente año 2022. En tanto que, en la región del Pacífico central, se espera que continúe La Niña con una mayor probabilidad de magnitud débil hasta el verano 2022 - 2023.

Más información: Comunicado ENFEN en el siguiente link:

<http://www.senamhi.gob.pe/?p=fenomeno-el-nino>

CONDICIONES OCÉANICAS Y ATMOSFÉRICAS

Temperatura Superficial del Mar (TSM)

Durante el mes de setiembre, gran parte de la franja ecuatorial y la región suroriental del océano Pacífico, presentaron continuos enfriamientos con temperaturas de la superficie del mar por debajo de sus valores climáticos, asociadas a la intensificación de los vientos alisios y, con ellos, el fortalecimiento de la corriente Ecuatorial del Sur y la corriente de Humboldt, arrastrando aguas frías desde regiones polares hacia latitudes tropicales. Por otro lado, las regiones marítimas contiguo a los países de Oceanía, experimentaron un marcado calentamiento superficial del mar respecto al mes anterior, reflejando el dominio de anomalías cálidas en la capa superior del Pacífico suroccidental (ver Figura 1).

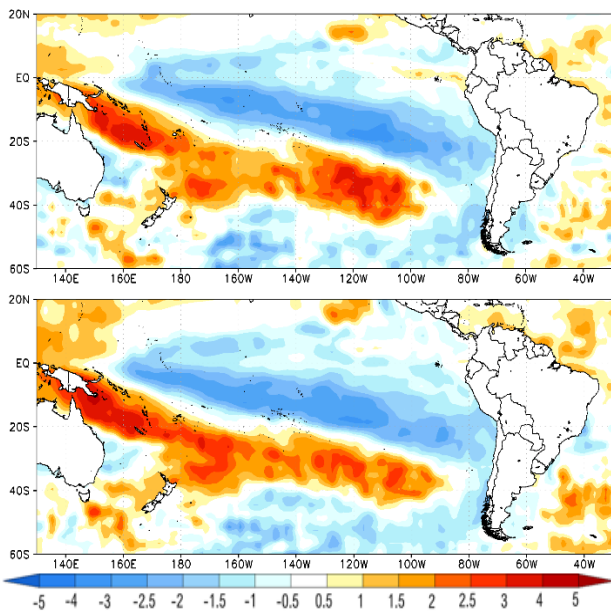


Figura 1: Anomalías estandarizadas de la temperatura superficial del mar, agosto (superior) y setiembre 2022 (inferior). Fuente: IRI, elaboración SENAMHI DZ2.

Los valores de anomalías de temperatura superficial del mar continuaron oscilando por debajo de sus cifras normales, extendiéndose a través de gran parte del océano Pacífico ecuatorial con valores promedio de -1.01°C , -0.93°C , -0.80°C y -1.12°C en las regiones de El Niño 4 (150°W - 160°E y 5°N - 5°S), El Niño 3.4 (5°N - 5°S , 170°W - 120°W), El Niño 3 (5°N - 5°S , 150°W - 90°W) y El Niño 1+2 (0° - 10°S , 90°W - 80°W) respectivamente (ver Figuras 2 y 3).

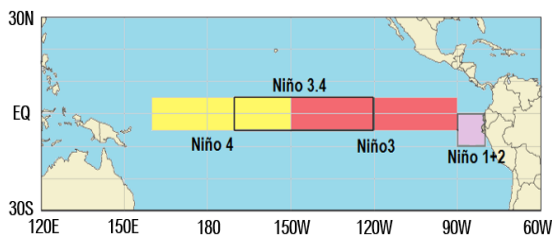


Figura 2: Áreas de monitoreo de las regiones de El Niño, elaboración SENAMHI DZ2.

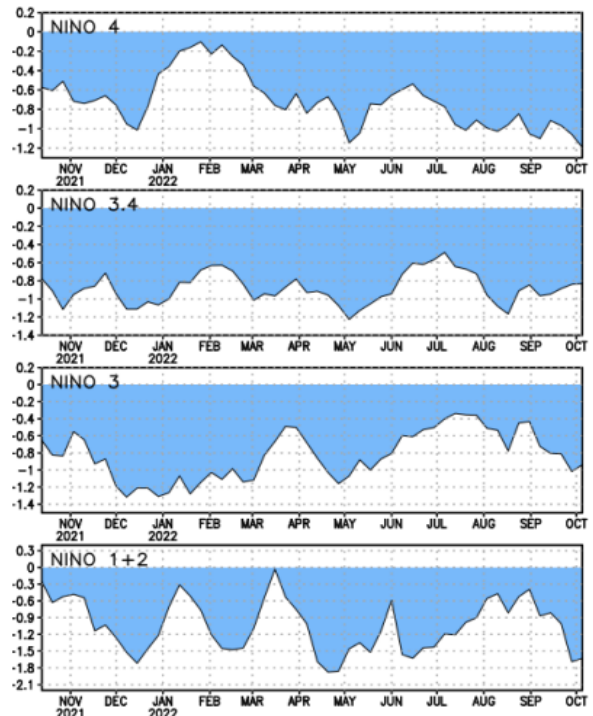


Figura 3: Variaciones de las anomalías medias mensuales de las TSM en las regiones “El Niño”. Fuente: CPC - NCEP/NOAA.

Temperatura Sub Superficial del Mar (TSSM)

La secuencia mensual de anomalías de temperatura subsuperficial del mar a 150m de profundidad, también contempla la distribución de masas de agua fría al este del Pacífico, ligadas a una fuerte corriente de Perú y la corriente de California; coadyuvando la presencia de una “piscina” de agua fría, extendida desde la superficie hasta cerca de los 200m bajo la superficie, entre 170°E y 80°W , desplazando las aguas cálidas en dirección oeste (ver Figura 4).

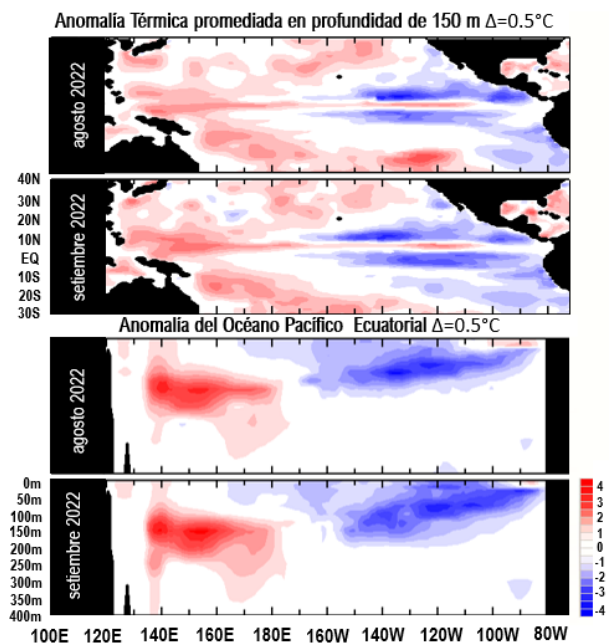


Figura 4. Anomalías de temperaturas del mar a 150m de profundidad (superior); perfil de anomalías de temperaturas sub superficiales del mar en el Pacífico ecuatorial (inferior). Fuente: Australian Government, Bureau of Meteorology.

Vientos en el Pacífico Tropical

En los niveles inferiores de la atmósfera tropical, persistieron vientos del sur sobre el océano Pacífico suroriental apoyando la surgencia de aguas frías en el mar de Grau, ricas en nutrientes; vientos que, por su direccionalidad, favorece el impulso de masas de agua fría hacia la franja ecuatorial, replegando las aguas cálidas hacia el occidente del océano Pacífico (ver Figura 5). Mientras que, los niveles superiores de la tropósfera sobre el centro y norte del continente sudamericano exhibieron flujos de viento del este, que apoyaron la advección de humedad desde la vertiente amazónica hacia los andes peruanos; en tanto que, el extremo sur del país presentó vientos del oeste o anomalías positivas, las cuales apoyaron el transporte de masas de aire seco (ver Figura 6).

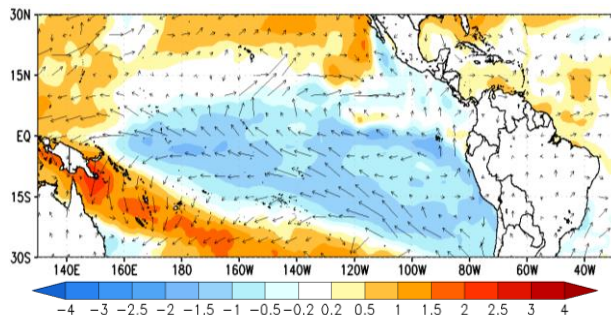


Figura 5: Anomalías mensuales de temperatura superficial del mar (°C), vector viento y velocidad del viento (m/s) en 1000hPa, setiembre 2022. Fuente: IRI, elaboración SENAMHI DZ2.

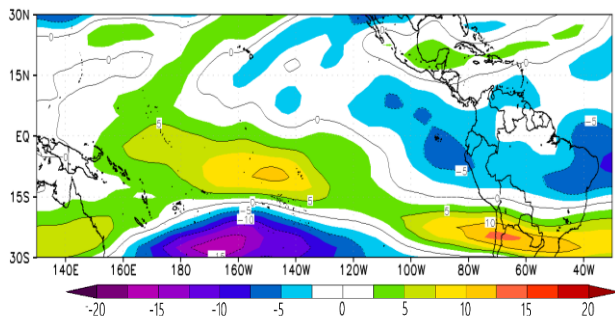


Figura 6: Anomalías de la componente zonal del viento (m/s) a 250 hPa, setiembre 2022. Fuente: IRI, elaboración SENAMHI DZ2.

Anticiclón del Pacífico Suroriental (APSO) y Anticiclón del Atlántico Sur (AAS)

La organización de las anomalías estandarizadas de la presión a nivel del mar mostró una configuración zonal del Anticiclón del Pacífico Suroriental, con un núcleo próximo a 1026hPa, al noreste de su posición normal; generando anomalías positivas al sureste del océano Pacífico y la vertiente occidental de la cordillera andina, incidiendo en el aumento de las velocidades de los vientos y la formación de nieblas y neblinas sobre el litoral costero del país; además, favorecieron la presencia de brillo solar, con algunos días moderadamente cálidos por la fuerte subsidencia

sobre la costa y nuestros andes occidentales. Asimismo, el Anticiclón del Atlántico sur con la continua regulando el transporte de humedad a la selva y sierra peruana (ver Figura 7).

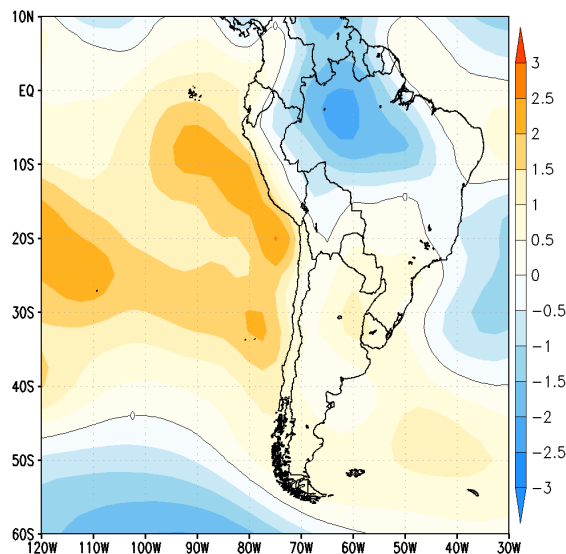


Figura 7: Anomalías estandarizadas de presión atmosférica a nivel del mar, setiembre 2022. Fuente: IRI, elaboración SENAMHI DZ2.

Zona de Convergencia Intertropical (ZCIT), monitoreada a través de la lluvia estimada por satélite (GPM_3IMERGDE)

La Zona de Convergencia Intertropical (ZCIT) siguió ubicada sobre 8°norte y a lo largo de todo el Pacífico ecuatorial, con una muy débil configuración en el mes de setiembre 2022; continuando la convección en el Pacífico ecuatorial frente al sur de centro América y la costa occidental colombiana. Restringiéndose la débil convección de la ZCIT en el Atlántico ecuatorial sobre 5°norte en promedio. Persistiendo la presencia irregular de la Vaguada Sudamericana (VAS), definida sobre el sur de Venezuela y el norte de Colombia, sin ningún efecto en nuestra amazonia alta zonal. Mostrándose muy débil y casi ausente la Zona de Convergencia del Atlántico Sur (ZCAS) sobre el Atlántico sur adjunto al extremo sur brasileiro; Con una irregular y casi ausente configuración de la Zona de Convergencia del Pacífico Sur (ZCPS), que no llegó a desarrollarse sobre el océano Pacífico adyacente al continente de Oceanía (ver Figura 8).

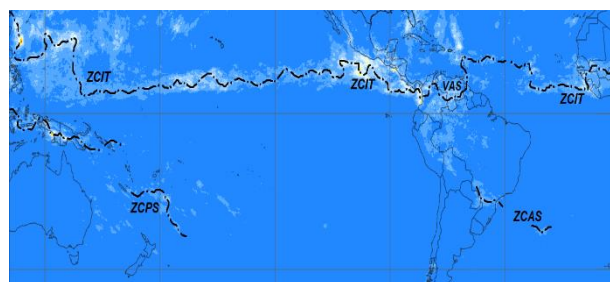


Figura 8: Posición de los sistemas sinópticos en base a las lluvias estimadas, setiembre 2022. Fuente: NASA/GPM_3IMERGDE.

LA TROPÓSFERA EN SUS TRES CAPAS

En los niveles inferiores de la tropósfera, cerca de los 1500msnm, predominaron los vientos del norte sobre la costa de los departamentos de Tumbes, Piura, Lambayeque y La Libertad; vientos que, por su procedencia tropical, ocasionaron que la cobertura nubosa durante las primeras horas de la mañana rompa en el transcurso del día, presentando condiciones de brillo solar. Por otro lado, en la cuenca del Amazonas, la humedad continuaba siendo transportada por los vientos del este hacia la Cordillera Andina de nuestro territorio peruano, sostenidas por el Anticiclón del Atlántico Sur (ver Figura 9).

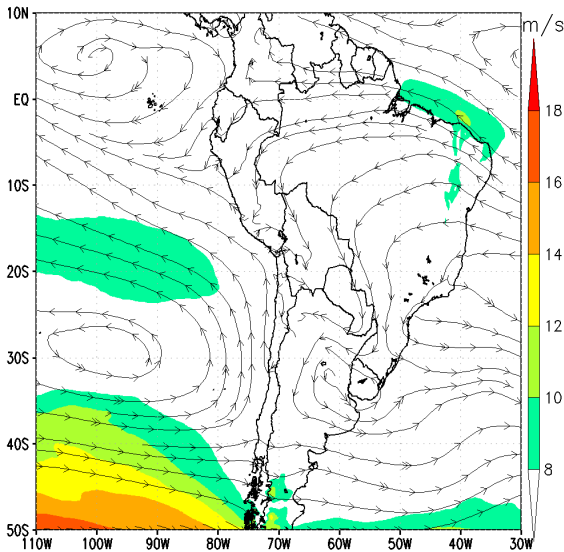


Figura 9: Dirección (vectorial) y velocidad (m/s) del viento a 850hPa, setiembre 2022. Fuente: ECMWF, elaboración SENAMHI DZ2.

En niveles medios de la atmósfera a 5575msnm, se observaron vientos del este asociados a la circulación antihoraria sobre el sureste de Brasil; favoreciendo al desplazamiento de parcelas de aire con cierta cantidad de vapor de agua por kilogramo de aire seco hacia los andes peruanos (ver Figura 10).

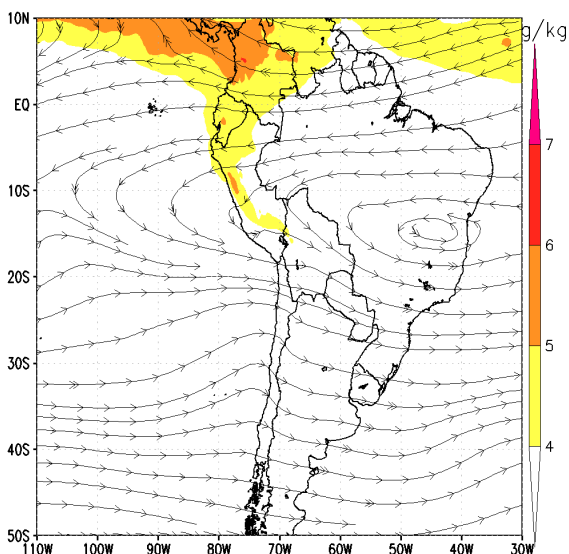


Figura 10: Dirección (vectorial) y relación de mezcla (g/kg) a 500hPa, setiembre 2022. Fuente: ECMWF, elaboración SENAMHI DZ2.

En altos niveles de la atmósfera, a 12000msnm, la presencia de un sistema de circulación antihoraria al centro de Sudamérica, favoreció el ingreso de vientos del este y divergencia en altura sobre el centro y norte de la selva y sierra peruana, coadyuvando la formación de nubes productoras de precipitación convectiva y nubes de trasvase sobre la costa norte con eventuales registros de lluvia; en contraste, al sur del país, la poca humedad y vientos constantes del oeste, inhibieron la formación de nubes de gran desarrollo vertical, permitiendo así el pobre registro de precipitaciones acumuladas (ver Figura 11).

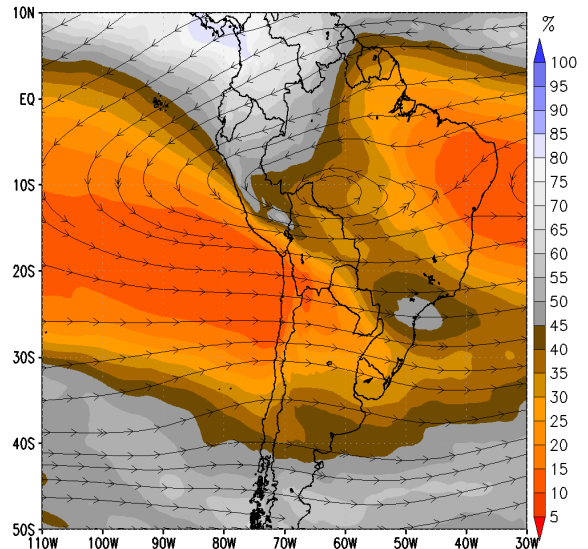


Figura 11: Dirección (vectorial) del viento a 200hPa y humedad relativa promedio (%) en la capa de 600 a 200hPa, setiembre 2022. Fuente: ECMWF, elaboración SENAMHI DZ2.

El perfil latitudinal promedio de la atmósfera, de 5° a 8°sur y 100° a 40°oeste, mostró el ingreso de humedad desde la amazonia hacia las zonas altoandinas de nuestro ámbito (Amazonas, centro y norte de Cajamarca y Lambayeque), contribuyendo al excedente de lluvia del mes de setiembre del año en curso. Observándose también, la saturación de humedad del aire en bajos niveles de la atmosfera sobre la costa Lambayecana (ver Figura 12).

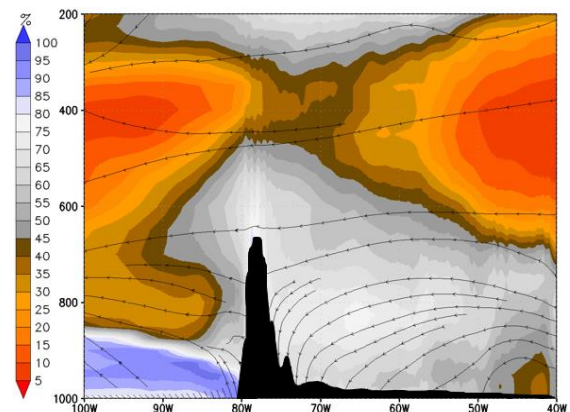


Figura 12: Perfil latitudinal (5° - 8° sur) de humedad relativa (%) y dirección (vectorial) del viento, setiembre 2022. Fuente: ECMWF, elaboración SENAMHI DZ2.

ANÁLISIS A ESCALA REGIONAL

Régimen de la precipitación

Las estaciones climatológicas distribuidas a lo largo del departamento de Lambayeque totalizaron acumulados de lluvias de 40.8 mm en Cueva Blanca, Incahuasi 25mm, Oyotún 2.4mm, Tinajones 0.5mm, Cayaltí 0.3mm, Lambayeque 0.3mm y Pasabar 0.1mm. Mientras tanto, al centro y norte de Cajamarca, se han totalizado precipitaciones de 179.6mm en Tongod, 119.4mm en Chancay Baños, Cutervo 119.4mm, Cochabamba 111.7mm, Udimá 93.1mm, Huambos 81.9mm, Chotano Lajas 74mm, Chota 69.3mm, Chirinos 67.8mm, La Cascarilla 63.6mm, Jaén 58.3mm, San Ignacio 52.6mm, Santa Cruz 52.5mm, Niepos 51.3mm, Quebrada Shugar 33.7mm, Bambamarca 33.6mm, Chontalí 33.2mm, Namballe 26mm, hacienda Pucará 25.3mm, Cañad 25.2mm, El Limón 22.2mm, Llama 20mm, Sallique 10.2mm, Cirato 9.7mm y Toccoche 0.5mm. Observándose también, 155.1mm en Santa María De Nieva, Aramango 148.4mm, Chiriaco 141.6mm, puente Salinas Amojao 105.5mm, Jazán 72.7mm, Naranjitos 62.5mm, Chachapoyas 53.2mm, El Palto 52.8mm, Bagua Chica 44.6mm y Jamalca 19.2mm en el departamento de Amazonas y 0.9mm en la estación de Talla (Guadalupe) en La Libertad (Figura 13).

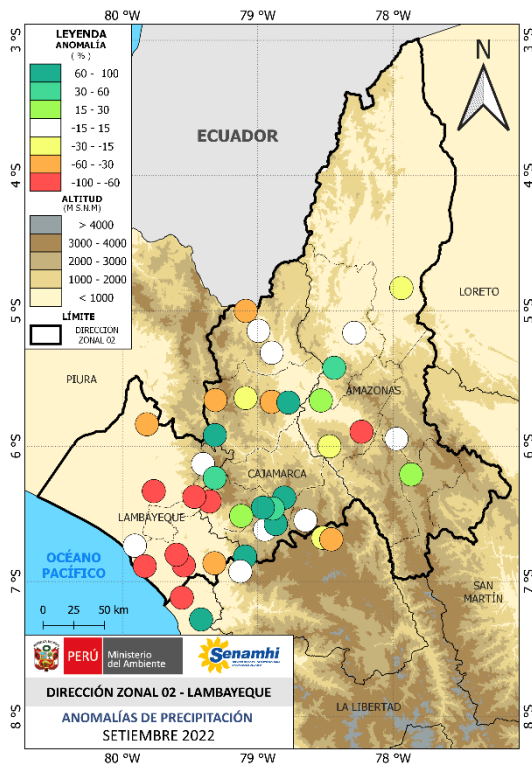


Figura 13: Anomalías de precipitación del mes de setiembre de 2022, elaboración SENAMHI DZZ.

Temperaturas extremas

DEPARTAMENTOS	ESTACIONES	T.MÁX	T.MÍN	ESTACIONES	T.MÁX	T.MÍN
LA LIBERTAD	TALLA (GUADALUPE)	24.5	13.9	CHERREPE	24.3	
	JAYANCA	28.4	14.3	OYOTÚN	26.9	13.9
LAMBAYEQUE	PUCHACA	26.5	14.5	SIPÁN	20.5	14.9
	TONGORRAPE	29.9	13.7	REQUE	20.5	14.9

DEPARTAMENTOS	ESTACIONES	T.MÁX	T.MÍN	ESTACIONES	T.MÁX	T.MÍN
LAMBAYEQUE	LAMBAYEQUE	21.7	14.2	INCAHUASI	16.7	6.7
	PASABAR	31.2	15.0	TINAJONES	27.0	14.2
	CAYALTÍ	26.1	12.9			
CAJAMARCA	CHOTA	22.2	9.6	SALLIQUE	31.9	10.7
	TOCOCOHE	25.5	14.3	CUTERVO	18.8	9.3
	SANTA CRUZ	24.5	11.0	LA MUCHALA	22.0	14.3
	NAMBALLE	32.4	13.4	CAÑAD	28.4	17.5
	UDIMA	19.0	10.7	HUAMBOS	20.7	12.0
	CHONTALÍ	26.4	14.3	TONGOD	20.3	6.6
	LA CASCARILLA	23.0	8.9	PTE.SAN CARLOS	27.7	14.6
	EL LIMÓN	32.8	21.2	CIRATO	27.7	17.6
	CHANCAYBAÑOS	28.2	14.2	LLAMA	21.1	10.8
	JAÉN	32.9	18.9	COCHABAMBA	28.7	12.3
	BAMBAMARCA	22.8	8.3	CHIRINOS	24.3	14.9
	SAN IGNACIO	28.7		NIEPOS	18.8	8.2
	ARAMANGO	34.9	13.8	JAMALCA	28.4	17.3
	AMAZONAS	SANTA MARIA DENIEVA	33.3	22.3	EL PALTO	27.9
CHACHAPOYAS		20.9	8.0	JAZÁN	27.0	13.9
BAGUA		33.4	21.8	CHIRIACO	32.7	19.3

Tabla 1: Temperaturas extremas en el mes de setiembre del 2022

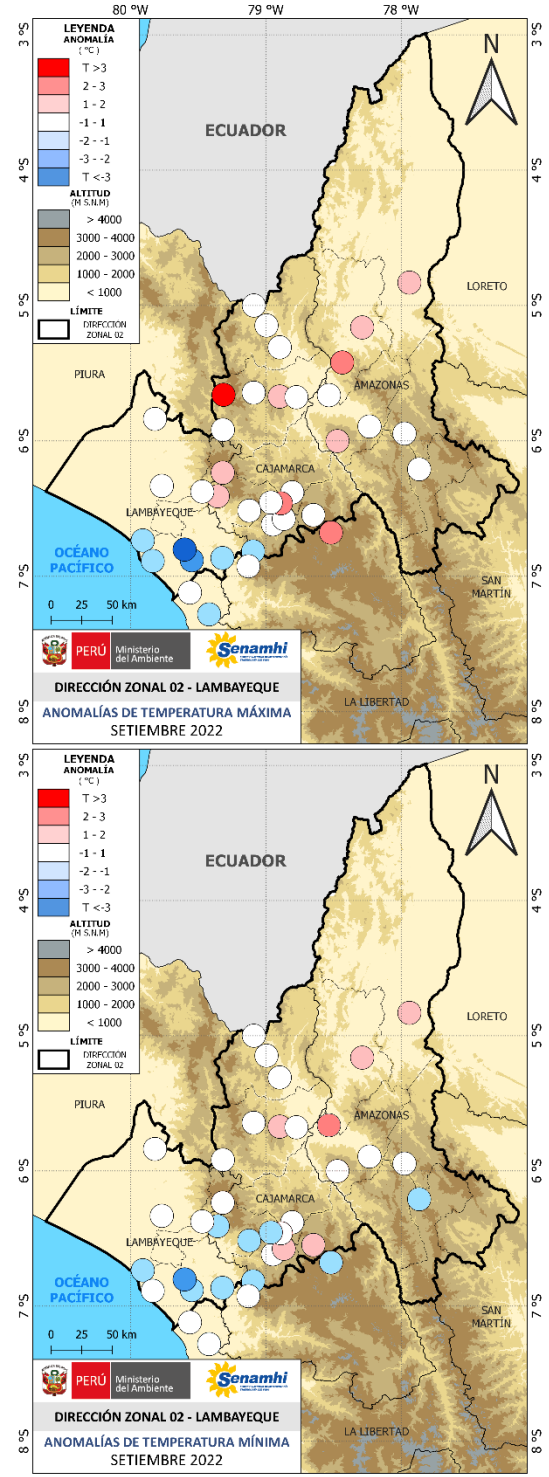


Figura 14: Anomalías temperaturas extremas del mes de setiembre del 2022, elaboración SENAMHI DZZ.

DÍA INTERNACIONAL PARA LA REDUCCIÓN DEL RIESGO DE DESASTRES (13 DE OCTUBRE)

La Asamblea General de Naciones Unidas declaró el 13 de octubre como el "Día Internacional para la Reducción de los Desastres", con el propósito de concienciar a los gobiernos y a la opinión pública para que tomen medidas encaminadas a minimizar los riesgos. Asimismo, los desastres, muchos de los cuales se han agravado con el cambio climático, combina la probabilidad de que se produzca un evento y sus impactos negativos en el desarrollo sostenible, incluso la pérdida de vidas humanas. Esto ha ocasionado que distintos investigadores y expertos desarrollen métodos para evaluar las amenazas, vulnerabilidades y capacidades que poseen las comunidades para afrontar los desastres; así como también formas de combinar tales evaluaciones y presentarlas en el formato de mapas de riesgos, siendo esenciales para desarrollar planes y estrategias a modo de reducir el nivel de riesgo ya existentes.



Figura 15: Terremoto en Ica (2007). Fuente: RPP

Se estima que, como resultado de la vulnerabilidad y la exposición a amenazas naturales durante los últimos 20 años, más de 1 millón de personas han perdido la vida. Y, alrededor de 4000 millones de personas se vieron obligadas a desplazarse de un lugar a otro, dejando su hogar y su cultura en el pasado, o han resultado con heridas, lesiones o han tenido que recurrir a algún tipo de ayuda de emergencia.

Nadie está a salvo de ser víctima de una catástrofe natural. Por lo tanto, la reducción del riesgo de desastres concierne a todo el mundo, desde los campesinos hasta los jefes de estado, desde los meteorólogos hasta los representantes de distintos medios de comunicación.

Debido a lo anterior uno de los grandes propósitos en este día es, aumentar el grado de sensibilización sobre el uso del conocimiento y las prácticas tradicionales, indígenas y locales, a fin de complementar el conocimiento científico en la gestión del riesgo de desastres y destacar diversos enfoques para hacer partícipes a las comunidades locales y los pueblos indígenas en la aplicación del Marco de Sendai para la Reducción del Riesgo de Desastres.



Figura 16: Consecuencias del huracán Ian (2022). Fuente: BBC

Para el 2022, el Día Internacional para la Reducción de los Desastres, se centrará en el siguiente lema: "Acción temprana y alerta temprana para todos" con el fin de incrementar considerablemente la disponibilidad de los sistemas de alerta temprana sobre amenazas múltiples y de la información y las evaluaciones sobre el riesgo de desastres transmitidas a las personas, y el acceso a ellos hacia el 2030.

Si bien no podemos evitar la ocurrencia de los fenómenos naturales, si podemos minimizar los daños que causan, si tomamos conciencia y comprendemos que los riesgos pueden ser menos desastrosos si se toman medidas concretas para mitigarlos.

Por eso, únete a nosotros y comparte en las redes sociales los hashtags #DIRD #VivirParaContarlo #Accióntemprana #Alertatemprana #DRRDay

Es importante que conozcas que cosas puedes hacer para estar preparado y poder ayudar en caso de que ocurra un desastre. No se trata de estar permanente asustado, pero sí de saber prevenir y responder.

Fuente:

- <https://www.un-spider.org/es/riesgos-y-desastres/gestion-del-riesgo-de-desastres>
- <https://www.cndh.org.mx/noticia/dia-internacional-para-la-reduccion-de-los-desastres>

PERSPECTIVAS CLIMÁTICAS

PERSPECTIVAS PARA LA FASE OCTUBRE A LA 1ª QUINCENA DE NOVIEMBRE 2022

Esta previsión se realiza acorde con los modelos del tiempo y clima numéricos, conceptuales y estadísticos CCM3 y ETA para pronósticos meteorológicos y climáticos corridos en el SENAMHI; y los modelos CFSv2, CanCM4i, GEM NEMO, GFDL, GFDL FLOR, NASA GEOS5v2, NCAR CCSM4 y NMME. Modelos que siguen previendo notables anomalías negativas o enfriamientos en el mar peruano (ver Figura 17) y bajas temperaturas en toda nuestra costa, por el enfriamiento térmico superficial y sub superficial en la región “Niño 1+2”; régimen que seguirá mostrando una fase fría o evento “La Niña” en el Pacífico ecuatorial oriental y nuestra costa, previéndose que en los meses siguientes el enfriamiento de la TSM siga en el Pacífico ecuatorial y nuestro litoral, como en la temperatura del aire que seguirán notando enfriamientos menores a su normal, o bajo su régimen habitual (ver Figura 19, panel izquierdo).

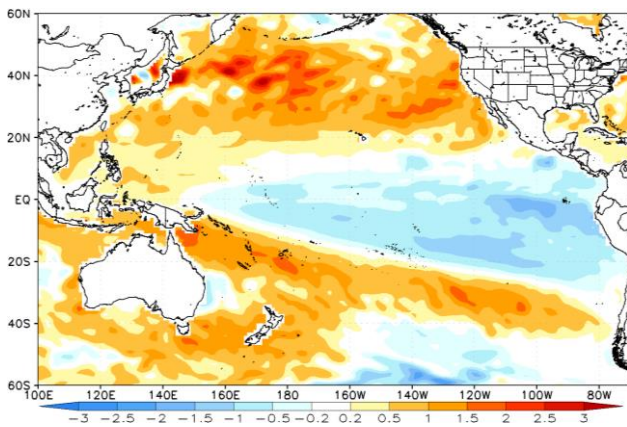


Figura 17: Anomalías de la temperatura superficial del mar (°C) noviembre 2022, modelo GFDL. Fuente: NOAA/CPC/NWS, elaboración SENAMHI DZ2.

En nuestra **costa Lambayecana** se registrarán condiciones de cielo nublado a parcialmente nublado durante el día con neblinas sobre la faja litoral y sus distritos adyacentes las primeras horas de la mañana, variando a condiciones de cielo con poca nubosidad y brillo solar hacia el mediodía, y eventualmente ciertos días con cielo despejado en horas del mediodía hacia fines del periodo previsto. Respecto a las temperaturas del aire máximas y mínimas del día, aún existe una alta probabilidad que éstas sigan fluctuando por debajo de su variabilidad normal o menores a su régimen habitual, con una sensación térmica de intenso frío entre la noche y amanecer por la elevada humedad del aire asociado al persistente enfriamiento de nuestro mar y reforzamiento de la presión atmosférica en nuestra costa, debido al fortalecimiento del APSO junto al Perú (ver Figura 18). Continuando además el registro de intensas ráfagas de vientos que podrían alcanzar los 30 km/h, en gran parte de la faja costera de Lambayeque, que aún vinculados al incremento de la humedad relativa del aire coadyuvarán al incremento de la sensación térmica de frío.

Los **andes de nuestro ámbito zonal** posiblemente observen cielo nublado a nublado parcial con brillo solar en gran parte del día. Estimándose la probable presencia de eventuales precipitaciones aisladas ligeras, que continuarán variando de normales a ligeramente deficientes en los andes centrales y occidentales del norte, como la posible presencia de lluvias ligeras y aisladas sobre la cadena andina nororiental, especialmente en el departamento de Amazonas, pero siempre por debajo de sus registros habituales (ver Figura 19, panel derecho). Persistiendo además un probable régimen térmico cercano a su variabilidad normal (ver Figura 19, panel izquierdo) y todavía presentándose algunos reforzamientos en la velocidad de los vientos, asociados a la estacionalidad climática y astronómica.

La **Amazonía alta de nuestra jurisdicción zonal** (centro y norte de Amazonas) es probable que registre condiciones de nubosidad de cubierto a nublado parcial, con un comportamiento normal de las temperaturas del aire durante toda la fase en previsión. Persistiendo la probabilidad de precipitaciones y chubascos normales durante este periodo previsto; al igual que algunas transitorias ocurrencias con tormentas eléctricas e incremento del viento, asociados al eventual reforzamiento de algunos episodios pluviales cortos sobre el departamento de Amazonas, que respecto a su régimen habitual todavía continuarán siendo deficientes (ver Figura 19, panel derecho).

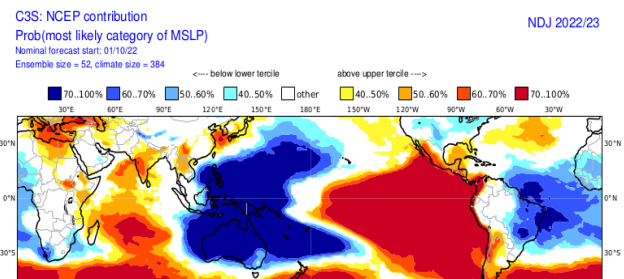


Figura 18: Categoría más probable de la presión atmosférica a nivel medio del mar, noviembre 2022 - enero 2023. Fuente: Copernicus ECMWF (modelo C3S, ECCO contribution).

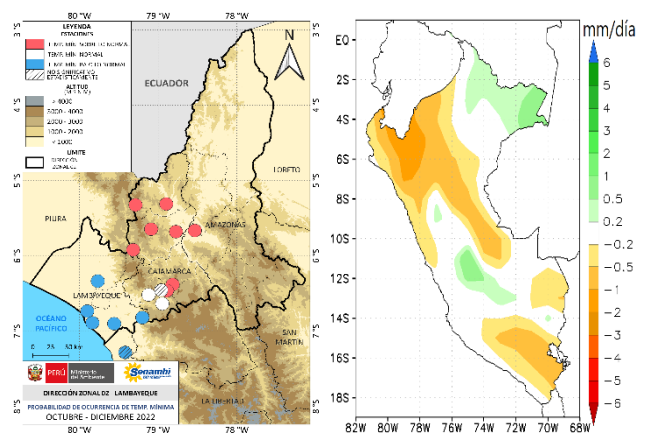


Figura 19: Probabilidad de ocurrencia de temperaturas mínimas, trimestre octubre a diciembre 2022; fuente: SENAMHI (panel izquierdo). Anomalías de precipitaciones (mm/día) noviembre 2022, modelo NMME; fuente: NOAA/CPC/NWS (panel derecho).

Presidente Ejecutivo
Guillermo A. Baigorria Paz
gbaigorria@senamhi.gob.pe

Director Zonal 2
Hugo Pantoja Tapia
hpantoja@senamhi.gob.pe

Analista Meteorológico
Joel Yoel Alania Sumaran
jalania@senamhi.gob.pe

Encuentra los ÚLTIMOS AVISOS
METEOROLÓGICOS en este link:
<http://www.senamhi.gob.pe/avisos>

Sigue de cerca nuestros pronósticos meteorológicos
en este link:
[https://www.senamhi.gob.pe/?&p=pronostico-
meteorologico](https://www.senamhi.gob.pe/?&p=pronostico-meteorologico)

Actualizado el 15 de octubre del 2022



Servicio Nacional de Meteorología e Hidrología del
Perú - SENAMHI

Jr. Cahuide 785, Jesús María Lima 11 - Perú

Central telefónica: [51 1] 614-1414
Atención al ciudadano: [51 1] 470-2867
Pronóstico: [51 1] 614-1407 anexo 407
Climatología: [51 1] 614-1414 anexo 475

Dirección Zonal 2
(Lambayeque, Cajamarca (centro-norte) y Amazonas)

Av. Manuel Arteaga N°620, Chiclayo, Lambayeque

Teléfono 074 - 225 589
e-mail: dz2@senamhi.gob.pe